

مدل‌سازی تولید روان‌آب حوزه‌های آبخیز استان کردستان با استفاده از متغیرهای فیزیوگرافی و اقلیمی

بهار صلواتی^۱ - سید‌حمدیرضا صادقی^{۲*} - عبدالرسول تلوی^۳

تاریخ دریافت: ۸۸/۲/۹

تاریخ پذیرش: ۸۸/۹/۲۲

چکیده

سیل از جمله پدیده‌هایی است که خسارات فراوانی به منابع وارد می‌سازد و همواره مورد توجه کارشناسان هیدرولوژی بوده است. از طرفی برآورد صحیح روان‌آب برای انجام تدبیر مناسب در راستای مهار و مدیریت بهینه آن ضروری است. با این وجود استفاده از مدل‌های مختلف تجربی موجود در برآورد روان‌آب با مشکلات فراوان همراه بوده است. بهمین دلیل روش تحلیل منطقه‌ای در برآورد دبی با دوره‌های بازگشت معین با استفاده از ویژگی‌های حوزه آبخیز و ارائه مدل‌های مناسب کاربرد گسترده‌ای دارد. به این منظور در این تحقیق آمار دبی متوسط سالانه ۷ ایستگاه هیدرومتری استان کردستان در یک دوره ۳۰ ساله جمع‌آوری و مقادیر دبی متوسط برای دوره‌های بازگشت ۵، ۱۰، ۲۰، ۲۵، ۵۰، ۱۰۰ و ۲۰۰ ساله با استفاده از نرم‌افزار SMADA بهدست آمد. سپس رابطه مقادیر دبی متوسط با دوره‌های بازگشت مختلف و ۲۶ خصوصیت فیزیوگرافی و اقلیمی هر یک از حوزه‌های آبخیز با استفاده از رگرسیون‌های دو و چند متغیره بررسی و مدل‌های مناسب برای هر یک از دوره‌های بازگشت با استفاده از نرم‌افزار SPSS ۱۳.۵ تهیه و اهمیت بخشی هر یک از آن‌ها نیز مشخص شد. نتایج مدل‌سازی طی تحقیق حاضر نشان گر غلبۀ انواع رگرسیون غیرخطی بر رگرسیون خطی و همچنین اهمیت متغیرهای مساحت، طول آبراهه اصلی و ضریب گراولیوس در اکثر مدل‌های نهایی بود. نتایج بهدست آمده همچنین بر تعییرپذیری متغیرها و اهمیت آن‌ها در تعیین دبی با دوره‌های بازگشت و ماههای مختلف و طبعاً بر صورت استفاده از مدل مناسب در تخمین روان‌آب حوزه‌های آبخیز استان کردستان دلالت داشته است.

واژه‌های کلیدی: استان کردستان، خصوصیات فیزیوگرافی، دوره بازگشت دبی، مدل‌سازی سیل

مقدمه

تا امکان بهینه‌سازی عملیات اجرایی در سطوح کوچک‌تر و خطرساز فراهم شود (۵ و ۳۰). کنترل سیل و شناخت مناطق سیل‌خیز در ایران نیز بهدلیل وقوع سیل‌های متعدد ضروری است. استان کردستان بهدلیل کوهستانی بودن و بارش متوسط سالیانه حدود ۴۰۰ میلی‌متر سیل‌های متعددی در زیرحوزه‌های آبخیز آن اتفاق می‌افتد و سالیانه خسارت جانی و مالی فراوانی را به‌همراه دارد. از این‌رو تعیین زیرحوزه‌های آبخیز بحرانی از نظر تولید روان‌آب حائز اهمیت بوده و زمینه‌ساز هدایت آسان‌تر متخصصان و مدیران بخش‌های اجرایی به نواحی بحرانی و کنترل بهتر و سریع‌تر فرآیند تولید روان‌آب با بیش‌ترین بازدهی اقتصادی است.

تحقیقات در زمینه مدل‌سازی ناحیه‌ای روان‌آب از دو دهه پیش آغاز شده است. لوگان و تانگ (۲۹)، در راستای دستیابی به مدل برآورد دبی جریان متوسط سالیانه در ۱۵ حوزه آبخیز نیوزلند، از پارامتر مساحت و طول آبراهه اصلی و متغیر بارندگی متوسط سالیانه استفاده نمود. استانی و هس (۳۶) برای تحلیل منطقه‌ای سیلان رودخانه‌های

بررسی دقیق مجموعه عوامل مؤثر بر تخریب محیط زیست نشان می‌دهد که دخالت انسان در چرخه طبیعی آب از طریق تخریب پوشش گیاهی در عرصه‌های آبخیز، تغییر کاربری اراضی، توسعه سطوح غیر قابل نفوذ و امثال آن احتمال سیل‌خیزی در مناطق گوناگون را افزایش داده است. سیل سالانه به‌طور میانگین جان ۲۶۰۰۰ نفر انسان را در سطح دنیا گرفته و بر زندگی ۷۵ میلیون دیگر اثر سوء اقتصادی زیادی بر جا می‌گذارد (۹).

اولین اقدام کاهش خطر سیل، مهار آن در زیرحوزه‌های آبخیز بالادرست است. لذا باید مناطق با پتانسیل بالای تولید سیل شناسایی

۱- به ترتیب دانش آموخته و دانشیار، گروه مهندسی آبخیزداری، دانشکده منابع طبیعی و علوم دریایی، دانشگاه تربیت مدرس مازندران، نور
۲- نویسنده مسئول: (Email: Sadeghi@modares.ac.ir)

۳- دانشیار و پژوهشگر مرکز تحقیقات کشاورزی و منابع طبیعی کل کشور

مدل‌های مناسب برای هر یک از دوره‌های بازگشت را ارائه کردند. با بررسی سوابق مطالعاتی انجام شده در خارج از کشور و در ایران می‌توان جمع‌بندی نمود که در اکثر مطالعات انجام شده تعداد متغیرهای مستقل برآورد کنندهً دبی سیلان بهندرت از ۱۰ عدد بیش‌تر بوده و اصولاً به داده‌های فیزیوگرافی و بعض‌اً اقلیمی محدود شده است و نیز بارش با دوره‌های بازگشت مختلف و در مقیاس‌های کوچک زمانی و در تعامل با دبی با دوره‌های بازگشت مختلف بسیار کمتر و غالباً غیر مستقیم مورد بررسی قرار گرفته است. از این‌رو انجام مطالعه‌گسترده و تبیین نقش متغیرهای مختلف و لحاظ شرایط جامع آن‌ها خصوصاً در استان مرزی کردستان با توجه به عدم وجود مطالعات کامل مرتبط و نیز رخداد سیل‌های مکرر و بزرگ حائز اهمیت فراوان می‌باشد.

مواد و روش‌ها

موقعیت منطقهٔ مورد بررسی

استان کردستان با وسعتی برابر با ۲۸۰۳۰۰ هکتار در غرب کشور واقع شده است. این استان در موقعیت جغرافیایی^۱ ۳۴°۴۴' تا ۳۶°۳۰' عرض شمالی و ۴۵°۳۱' تا ۴۸°۱۶' طول شرقی قرار دارد و از شمال به استان‌های آذربایجان غربی و زنجان، از جنوب به استان کرمانشاه، از شرق به استان‌های همدان و زنجان و از غرب به ناحیه سلیمانیه عراق محدود است. استان کردستان در عرصه سلسه جبال زاگرس قرار گرفته و قسمت اعظم آن کوهستانی است. استان کردستان دارای هشت حوزهٔ آبخیز اصلی است که موقعیت عمومی و حوزه‌های آبخیز مهم آن در شکل ۱ نشان داده شده است.

ایستگاه‌های مطالعاتی و آماده‌سازی داده‌ها

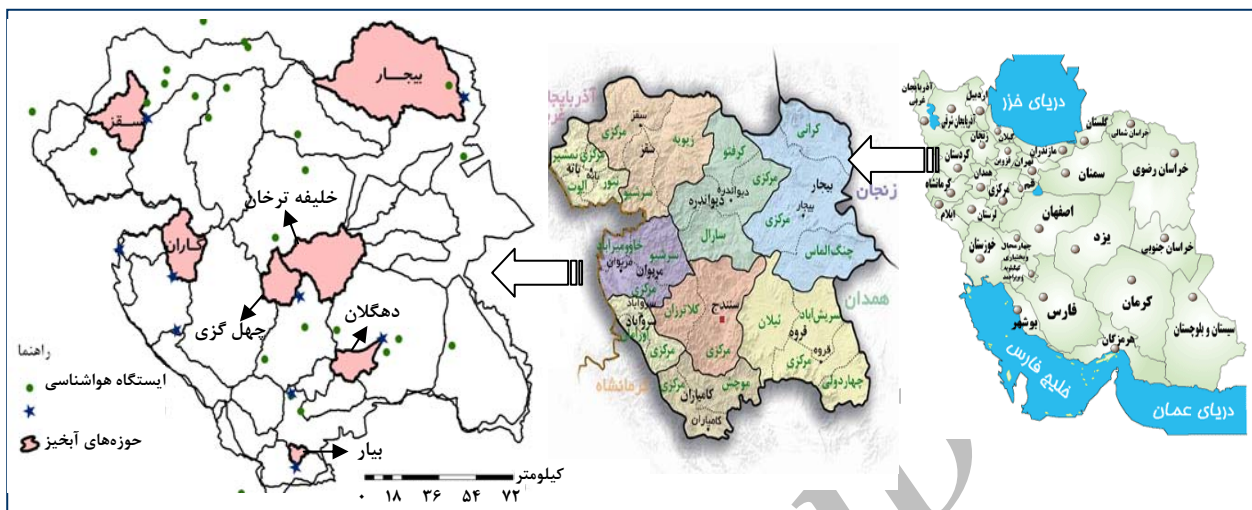
انجام مطالعهٔ حاضر پس از بررسی اولیهٔ داده‌های ۲۱ ایستگاه هیدرومتری موجود در استان و نهایی‌سازی و جمع‌آوری داده‌های دبی ماهانه و سالیانه تنها ۷ ایستگاه (بیجار، سقز، دهگلان، چهل‌گزی، خلیفه‌ترخان، بیار، گاران) تحت نظرارت آب منطقه‌ای و تحقیقات منابع آب ایران با دورهٔ آماری مشترک ۳۰ سال بین سال‌های آبی ۱۳۵۴-۱۳۸۴ تا ۱۳۸۳-۱۳۸۴ با مختصات مندرج در جدول ۱ میسر شد. برای بازسازی و همچنین تکمیل داده‌ها در بعضی سال‌های آماری در یک ایستگاه یا برای ایستگاه‌های ناقص، ابتدا رابطهٔ همبستگی دو به دو بین ایستگاه‌های مذکور بررسی شد. روابط با همبستگی بالا به صورت خطی و با بیش‌ترین ضریب همبستگی انتخاب (۲۱ و ۱۳) و نسبت به تکمیل نواقص آماری اقدام گردید. نظر به ضرورت دست‌یابی به مقادیر کمی متغیرهای مستقل برای تهیه مدل‌های رگرسیونی، برآورد دبی با دوره‌های بازگشت مختلف، ۲، ۵، ۱۰، ۲۰، ۲۵، ۵۰، ۱۰۰ در مقیاس زمانی ماهانه، کلیه نقشه‌های مورد نیاز شامل توپوگرافی، شبکهٔ آبراهه‌ای در مقیاس ۱/۵۰۰۰۰ جمع‌آوری شد.

ایالت جورجیا^۲ امریکا از آمار ۴۲۶ ایستگاه موجود در منطقه استفاده کردند. در این بررسی با استفاده از روش تحلیل رگرسیون خطی چند متغیره بین پارامترهای فیزیکی و اقلیمی حوزهٔ آبخیز با دبی‌های سیلانی حاصل از توزیع احتمالی پرسون تیپ ۳، مدل‌های برآورد دبی سیلان منطقه‌ای را ارائه کردند. همچنین این تحقیق نشان داد که سطح حوزه معنی‌دارترین متغیر مرتبط با دبی سیلانی می‌باشد. جلدسن و همکاران (۲۸) در تجزیه و تحلیل منطقه‌ای سیلان در افریقای جنوبی بر ضرورت استفاده از مدل‌های شاخصی^۳ برای لحاظ متغیرهای متعدد در مدل‌سازی سیلان تأکید داشتند. تلویزیون^۴ و اسلامی (۳۸)، روش‌های تحلیل منطقه‌ای سیلان در دو منطقه خزر شرقی و غربی بر مبنای پارامترهای فیزیوگرافی و هیدرولوژیکی را مورد بررسی قرار دادند. نتایج تحقیق آنان نشان داد که مساحت، شیب متوسط وزنی، ارتفاع متوسط، طول آبراههٔ اصلی، تراکم زهکشی و بارندگی متوسط سالیانه حوزهٔ آبخیز، روابط همبستگی خوبی با دبی‌های حداکثر لحظه‌ای در دوره‌های بازگشت مختلف داشته‌اند. در این میان مهم‌ترین عامل در تولید جریان سیلانی مساحت تعیین گردید. ژو و دی (۴۰) در بررسی ارتباط جریان‌های رودخانه‌ای، زیرزمینی و روان‌آب با خصوصیات فیزیکی حوزهٔ آبخیز و در محیط سامانهٔ اطلاعات جغرافیایی^۵ نشان دادند که تمام مدل‌های رگرسیونی به دست آمده از ضریب تبیین بیش از ۰/۹۴ و خطای تخمین کم برخوردار بودند. در ایران نیز قاسمپور (۱۷)، مدل‌های منطقه‌ای برآورد دبی حداکثر لحظه‌ای سیلان سالانه با دوره‌های بازگشت ۵ تا ۲۰۰ ساله برای منطقه غرب مازندران را ارائه کرد. ایشان به منظور انتخاب توزیع‌های مناسب آماری از نرم‌افزار HYFA استفاده نمود. سپس مقادیر اصلی و لگاریتمی دبی با دوره‌های بازگشت مختلف به عنوان متغیر وابسته و خصوصیات فیزیوگرافی و اقلیمی را به عنوان متغیر مستقل در روابط رگرسیون چندگانه با روش‌های پیش‌رو و پس‌رو مورد بررسی قرار داد و در نهایت مناسب‌ترین مدل برای تخمین دبی-های با دوره‌های بازگشت مختلف را ارائه نمود. نتایج ایشان نیز نشان داد که مساحت مهم‌ترین پارامتر مؤثر در تولید سیلان نیز نشان داده‌رداد (۶) با انجام آزمون‌های تحلیل عاملی، تحلیل خوش‌های و توابع متمایز کننده، عوامل مستقل مؤثر بر حداکثر سیلان لحظه‌ای در ۲۳ حوزهٔ آبخیز کویر مرکزی را مشخص کرد. توکلی و رستمی‌نیما (۲) با استفاده از آمار دبی حداکثر لحظه‌ای سالانه ۱۱ ایستگاه هیدرومتری استان ایلام در یک دورهٔ ۳۰ ساله و انجام آزمون‌های همگنی و کفايت آماری با استفاده از توزیع مناسب آماری، مقادیر دبی حداکثر لحظه‌ای برای دوره‌های بازگشت ۲ تا ۱۰۰۰ ساله را به دست آوردند. در نهایت بین مقادیر دبی و ۱۴ خصوصیت فیزیوگرافی و بارندگی متوسط هر یک از زیرحوزه‌ها با رگرسیون چند متغیره ارتباطات لازم را بررسی و

1- Jourjia

2- Indexed Based Models

3- Geographic Information System, GIS



(شکل ۱)- موقعیت عمومی حوزه‌های آبخیز، ایستگاه‌های هواشناسی و هیدرومتری موجود در استان کردستان

(جدول ۱)- مشخصات اصلی ایستگاه‌های هیدرومتری با طول آماری ۳۰ سال برای مدل‌سازی تولید روان آب در استان کردستان

ردیف ردیف نام شماره	ایستگاه			
	طول جغرافیایی (دقیقه-درجه)	عرض جغرافیایی (دقیقه-درجه)	مساحت حوزه آبخیز (کیلومتر مربع)	ارتفاع (متر)
۱	۱۷۰۰۹	۴۷-۵۳	۱۴۵۰	۳۶-۱۰
۲	۲۱۰۲۳	۴۷-۳	۱۴۹۰	۳۵-۳۰
۳	۲۱۰۳۳	۴۶-۱۸	۱۳۲۰	۳۵-۳۲
۴	۱۷۰۸۳	۴۷-۲۵	۱۸۲۰	۳۵-۱۷
۵	۲۱۱۳۷	۴۶-۵۶	۱۵۵۰	۳۵-۰۵
۶	۳۳۰۰۷	۴۶-۱۰	۱۵۰۰	۳۶-۱۱
۷	۲۱۱۳۹	۴۶-۵۸	۱۴۹۰	۳۵-۲۸

شبیه‌های مختلف بهمنظور استفاده در تحقیق حاضر با استخراج نقشه‌های جهت^۱ و شبیه^۲ از نقشه رقومی ارتفاعی^۳ منطقه و تبدیل آن‌ها به نقشه‌های وکتور^۴ مورد ارزیابی قرار گرفتند. فراوانی آبراهه‌ها^۵ نیز از تقسیم تعداد کل آبراهه‌ها در واحد سطح حوزه آبخیز به دست آمد (۳۷). ضریب گراولیوس یا ضریب فشردگی^۶ با استفاده از حاصل ضرب ضریب^۷ ۰/۲۸ در نسبت محیط حوزه آبخیز به جذر مساحت آن محاسبه شد (۱۶). در تحقیق حاضر تراکم زهکشی^۸ مربوط به آبراهه‌های درجه ۱، ۲، ۳، ۴، ۵ و کل (۲۱) به طور جداگانه

جمع‌آوری و تهیه اطلاعات فیزیوگرافی و اقلیمی در ادامه کلیه متغیرهای مستقل شامل متغیرهای فیزیوگرافی و اقلیمی و نتایج مرتبط با هر یک از آنها تعیین گردید. ملاک انتخاب نوع متغیرهای مستقل، مؤثر بودن در تولید روان آب، سهولت دسترسی و اعتماد در اندازه‌گیری، اهمیت متغیر در منطقه مورد مطالعه و در نهایت استفاده از متغیرهای مذکور در سایر تحقیقات پیشین بوده است.

در مقوله خصوصیات فیزیوگرافی، کلیه متغیرهای مساحت، محیط، طول آبراهه، مجموع طول آبراهه‌ها، ارتفاع حداقل، ارتفاع حداقل، ضریب فشردگی، ضریب کشیدگی و طول حوزه آبخیز (۲، ۳، ۴، ۵، ۱۱، ۱۴، ۱۸، ۱۶، ۲۱، ۲۳، ۲۹، ۳۵، ۳۳، ۳۶ و ۳۹) هر ناحیه در محیط GIS و پس از تعیین محدوده هر حوزه آبخیز با استفاده از الحاقیه X-Tools ArcGIS 9.2 در محیط ArcGIS 9.2 محاسبه شد. درصد اشغال جهات شمالی، جنوبی، شرقی و غربی و درصد

1- Aspect

2- Slope

3- Digital Elevation Model, DEM

4- Vector Maps

5- Stream Frequency

6- Compactness Coefficient

7- Drainage Density

بالاتر (۱۲) انجام شد. در این مرحله داده‌های دبی با دوره‌های بازگشت مختلف به عنوان متغیر وابسته و داده‌های مربوط به ویژگی‌های فیزیوگرافی و اقلیمی به عنوان متغیرهای مستقل وارد محاسبات گردید. همچنین برای در نظر گرفتن رگرسیون غیرخطی چندگانه نیز ابتدا متغیرهای مستقل به صورت‌های لگاریتمی در مبنای ۱۰، توان دو، توان سه و سپس مدل رگرسیون خطی حالت‌های مختلف انجام شد (۱۳). در انجام تجزیه و تحلیل رگرسیون چندگانه، به دلیل زیاد بودن تعداد متغیرهای مستقل، از روش آماری تجزیه و تحلیل عاملی پس از استاندارد کردن متغیرهای مستقل (۸ و ۱۵) و پس از انتخاب تعداد عامل‌ها با کمک آزمون Bartlett (۱۹) استفاده شد.

در فرآیند مدل‌سازی و برای تأیید توانایی یک یا چند متغیر مستقل در تخمین متغیر وابسته، بخشی از داده‌های موجود برای واستجی و حدود یک سوم داده‌ها نیز برای تأیید مدل‌ها مورد استفاده قرار گرفت (۲۶). ارزیابی مدل‌های تهیه شده با استفاده از معیارها و شاخص‌های متعدّدی از جمله ضریب همبستگی^۴، اشتباہ استاندارد^۵، خطای نسبی^۶ تخمین و تأیید (رابطه ۱) و مجدور میانگین مربعات خطای^۷ (رابطه ۲)، انجام پذیرفت.

$$RE = \left| \frac{Y_o - Y_E}{Y_o} \right| \times 100 \quad (1)$$

$$RMSE = \sqrt{\frac{\sum_{i=1}^N (Y_o - Y_E)^2}{N}} \quad (2)$$

که در روابط ارائه شده RE درصد خطای نسبی، Y_o مقدار مشاهده‌ای متغیر وابسته، Y_E مقدار تخمینی متغیر وابسته، RMSE مجدور میانگین مربعات خطای و N تعداد مشاهدات می‌باشد.

مدل‌هایی با ضریب همبستگی معنی‌دار در سطح کوچکتر از ۵ درصد، خطای استاندارد و مجدور میانگین مربعات خطای کمتر و نیز درصد خطای تخمین کمتر از ۴۰ درصد و تأیید کمتر به عنوان مدل‌های برتر انتخاب شدند (۱۲ و ۳۶). بدینهای است انتخاب نهایی مدل‌های با خصوصیات آماری مشابه بر اساس تعداد محدودتر متغیرهای مستقل و نیز قابلیت دستیابی و یا محاسبه آنها (۱۹) صورت گرفت. همچنین در خصوص تأیید مدل‌های منطقه‌ای تهیه شده، از تعداد کل ۷ حوزه آبخیز قابل استفاده در مطالعه و پراکنده در سطح استان (شکل ۱) و برخورداری از سطحی معادل حدود ۱۴ درصد

تعیین گردید. ضریب یا نسبت ناهمواری^۸ نیز به صورت نسبت اختلاف ارتفاع دو نقطه به فاصله افقی همان دو نقطه تعريف و برای کلیه حوزه‌های آبخیز (۲۱) محاسبه شد. نمرة ناهمواری^۹ مربوط به کلیه زیرحوزه‌های مورد مطالعه نیز به صورت حاصل ضرب ناهمواری یا اختلاف ارتفاع در تراکم زهکشی محاسبه گردید (۳۷).

متغیرهای اقلیمی شامل، حداکثر بارندگی ماهانه با دوره‌های بازگشت ۵، ۱۰، ۲۰، ۲۵، ۵۰، ۱۰۰ و ۲۰۰ ساله (۲۷، ۱۱، ۷، ۲، ۲۸، ۲۹ و ۳۶) در ۲۸ ایستگاه هواشناسی با استفاده از نرم‌افزار SMADA (۲۳) تعیین گردید. برای برآش بارش بین ایستگاه‌های بارندگی بر ایستگاه‌های هیدرومتری از دو روش رسم خطوط هم‌باران و گرادیان بارندگی استفاده شد. به دلیل سهولت محاسبه و عدم وجود اختلاف معنی‌دار بین دو روش مذکور، از گرادیان بارندگی برای ارزیابی مقدار بارش با دوره‌های بازگشت مختلف در محدوده هر ایستگاه هیدرومتری استفاده شد. با توجه به موقعیت ایستگاه‌های هیدرومتری و نحوه پراکنش ایستگاه‌های هواشناسی، ایستگاه‌های مجاور هر ایستگاه هیدرومتری مشخص و گرادیان بارندگی مربوط به هر ماه در هر دوره بازگشت به صورت جداگانه محاسبه شد. متغیر دبی با دوره‌های بازگشت مختلف (۲ و ۲۵ و ۲۵) نیز با استفاده از داده‌های هیدرومتری و پس از رفع نواقص آماری و با تکیه بر منابع موجود در این زمینه به عنوان متغیر وابسته در نظر گرفته شد و با استفاده از نرم‌افزار SMADA (۱۸) تعیین گردید. بعد از جمع‌آوری، تکمیل، بازسازی و تدوین کلیه داده‌های مورد نیاز، نرمال بودن داده‌های مستقل و وابسته با استفاده از آزمون کلموگراف اسمیرنف^{۱۰} انجام گرفت (۱۵).

مدل‌سازی روابط

در تحقیق حاضر ارتباط رگرسیونی دو متغیره بین مقادیر دبی با دوره بازگشت و در ماههای متفاوت به عنوان متغیر وابسته و متغیرهای فیزیوگرافی و اقلیمی به عنوان متغیر مستقل (۱۸) به صورت دو به دو بررسی شد. مدل‌هایی با ضریب همبستگی معنی‌دار در سطح ۱ و ۵ درصد و بهترتب مساوی یا بزرگ‌تر از ۷۰۸ و ۵۷۲٪ با لحاظ درجه آزادی متناسب (۲۱) با تعداد ایستگاه‌های شش گانه مورد استفاده در مرحله واستجی و تهیه مدل و از بین آن‌ها مدل‌های با ضریب همبستگی بالاتر به عنوان مدل‌های نهایی (۱۲) انتخاب شدند.

برای تعیین ارتباط خطی بین متغیرهای مستقل و وابسته، آزمون رگرسیون خطی چندگانه نیز مورد استفاده قرار گرفت. محاسبات رگرسیون خطی چندگانه با استفاده از روش گام به گام (۱۵) به دلیل دقت

4- Correlation Coefficient

5- Standard Error of Estimate

6- Relative Error

7- Root Mean Square of Error

1- Relief Ratio

2- Ruggedness Number

3- Kolmogorov-Smirnov

به عنوان مدل نهایی با خطای تخمین و تأیید پایین و نیز مجموع مربعات خطای باقیمانده کمتر برگزیده شدند. از نتایج این مرحله از مدل سازی در حوزه‌های آبخیز مطالعاتی برای نمونه دوره بازگشت ۲۵ سال در جدول ۵ آورده شده است.

از استان کردستان، ۶ حوزه آبخیز برای مرحله مدل سازی و واسنجی و یک حوزه آبخیز نیز برای مراحل تأیید و ارزیابی عمل کرد مدل‌های نهایی به دست آمده استفاده شد.

نتایج

بحث و نتیجه‌گیری

نتایج حاصل از رگرسیون دو متغیره نشان داد که در ماه مهر عامل مساحت بر دبی متوسط ماهیانه در دوره‌های بازگشت ۲، ۵ و ۱۰ ساله به طور مستقیم مؤثر می‌باشد که با نتایج جلالی (۳)، موحد دانش و مفخری (۲۰)، سلیمانی (۱۰)، مهدوی و هاشمی (۲۲)، داوودی راد (۶)، داوودی راد و مهدوی (۷)، چاوشی بروجنی و اسلامیان (۴)، غیاثی و همکاران (۱۴)، سلیمانی و همکاران (۱۱)، تلوی و اسلامی (۳۸)، میمیکو و رانو (۳۰)، کمپبل و سایدل (۲۴)، لوگان و تانگ (۲۹)، ریگس (۳۲)، استامی و هس (۳۶)، گرالد (۲۵) و روغنی و همکاران (۳۳) در خصوص نقش مساحت در تبیین مقادیر دبی حوزه‌های آبخیز نقاط مختلف جهان مطابقت دارد و با نتایج پوراغنیایی (۱) و توکلی و رستمی‌نیا (۲) در رابطه با توانایی سایر متغیرها در تبیین دبی حوزه‌های آبخیز مطالعاتی خود مغایرت دارد. برای دوره‌های بازگشت ۵۰، ۵۰، ۲۰۰، ۱۰۰، ۲۰۰۰ عامل طول آبراهه اصلی بر میزان دبی مؤثر بوده است. در ماههای آبان، آذر، دی و اردیبهشت در دوره‌های بازگشت ۵، ۱۰، ۲۵، ۲۰ و ۱۰۰ تنها عامل تأثیرگذار بر دبی ضریب گراولیوس می‌باشد.

نتایج مربوط به متغیرهای فیزیوگرافی و اقلیمی

کلیه داده‌های مستقل مورد نیاز برای مدل سازی تولید روان آب در استان کردستان با توجه به روش کار ارائه شده و نیز تهیه بیش از ۶۷۲ مدل گردیدن بارش حاصل شد. کلیه نتایج حاصل از محاسبه متغیرهای مستقل فیزیوگرافی، داده‌های بارش با دوره‌های بازگشت مختلف و نیز مقادیر دبی با دوره بازگشت مختلف در جداول (۲) تا (۴) خلاصه شده است.

مدلهای رگرسیونی دو و چند متغیره تهیه شده روابط دو متغیره دبی و عوامل فیزیوگرافی و اقلیمی از طریق بررسی رابطه بین هر کدام از ۹۶ متغیر وابسته (دبی با دوره‌های بازگشت مختلف برای هر ماه سال) با هر کدام از ۲۶ متغیر مستقل فیزیوگرافی و اقلیمی به صورت خطی، معکوس، توان دوم، توان سوم، لگاریتمی و نمایی انجام شد. از میان حالت‌های ممکن برای هر کدام از متغیرهای وابسته ۲۸۷۴۶ مدل حاصل شد. حدود ۹۰۰ مدل با سطح معنی‌داری قابل قبول پایین و ضریب تبیین بالا انتخاب شدند. در نهایت با در نظر گرفتن تنها انتخاب یک مدل برای هر ماه، ۷۰ مدل

(جدول ۲)- مجموعه متغیرهای مستقل به دست آمده برای حوزه آب در استان کردستان

بیار دهستان خلیفه‌ترخان چهل‌گزی گاران سقر بیجار							حوزه آبخیز	
							متغیر	
۱۶۰۵	۱۱۹۵	۱۲۷۸	۱۲۷۵	۱۳۱۱	۹۰۰	۷۸۲	اختلاف ارتفاع حداقل و حداقل (متر)	
۳۰۴۵	۲۶۹۷	۲۶۰۰	۲۸۲۴	۲۸۷۵	۲۷۰۳	۲۲۸۸	ارتفاع حداقل (متر)	
۱۴۴۰	۱۵۰۲	۱۳۲۲	۱۵۴۹	۱۵۶۴	۱۸۰۳	۱۵۰۶	ارتفاع حداقل (متر)	
۱۸۰۲/۷	۴۵۳/۴۵	۳۹۹/۳۵	۲۷۱/۶۸	۶۸۹/۸۴	۲۲۱/۶۷	۴۸/۱۹	مساحت (کیلومتر مربع)	
۲۲۹/۷۳	۱۲۰/۱۲	۹۵/۳۹	۸۲/۶۶	۱۳۷/۳۵	۷۹/۶۱	۳۳/۷۵	محیط (کیلومتر)	
۱/۵۳	۱/۵۹	۱/۳۵	۱/۴۱	۱/۴۸	۱/۵۱	۱/۳۸	ضریب فشردنگی	
۰/۶۵	۰/۸	۰/۷۶	۰/۷۶	۰/۸۷	۰/۶۱	۰/۸۶	ضریب کشیدگی	
۷۳/۵	۳۰/۱۵	۲۹/۵۷	۲۴/۴۲	۳۴/۰۳	۲۷/۴۴	۹/۱۵	طول حوزه (کیلومتر)	
۱۸/۹۱	۲۲/۵۴	۲۶/۴۳	۲۴/۴۸	۲۵/۲۱	۱۵/۸۲	۲۷/۲۲	درصد غرب	
۲۹/۹۶	۲۴/۵۸	۲۱/۵۶	۳۰/۳۴	۲۶/۹۵	۳۶/۶۱	۲۱/۲۷	درصد شرق	
۳۲/۴۶	۲۵/۱۸	۲۹/۳۴	۲۸/۹	۲۷/۰۳	۲۰/۱	۳۷/۱۶	درصد جنوب	
۱۸/۷۷	۲۷/۶۹	۲۲/۶۷	۱۶/۳۱	۲۰/۸	۲۷/۴۷	۱۴/۳۶	درصد شمال	
۲۴/۷۱	۱/۷۲	۱/۲	۱/۹۸	۱۱/۲۱	۳۲/۷۱	۸۹	۵-۰ درصد	
۴۴/۶	۱۰/۹۵	۵/۳۳	۱۳/۰۶	۳۹/۸۲	۲۲/۰۱	۱۰/۹۷	۱۲-۵ درصد	
۲۹/۹۸	۷۸/۰۸	۷۷/۱۵	۸۱/۲۳	۴۷/۹۴	۴۲/۸	۰/۰۳	۴۵-۱۲ درصد	
۰/۷	۹/۲۵	۱۶/۳۱	۳/۷۳	۱/۰۲	۲/۴۸	۰/۰۰	بیش از ۴۵ درصد	

جدول (۳) داده های بارش با دوره های بازگشت مختلف (سال) در حوزه های آبخیز مطالعاتی استان کردستان

حوزه آبخیز (سال)	دوره بازگشت	مهر	آبان	آذر	دی	بهمن	اسفند	فروردین	اردیبهشت	خرداد	تیر	مرداد	شهریور
گاران	۲	۰/۲۲	۲/۰۵	۵/۰۸	۲۵/۳۸	۶۸/۹۷	۷۰/۰۵	۴۹/۵۹	۶۵/۴۸	۴۰/۳۳	۵۱/۴۰	۳۷/۶۳	۵/۳۵
	۵	۴/۴۸	۷/۴۲	۱۱/۰۵	۵۲/۱۸	۱۱۲/۵۲	۱۲۴/۹	۱۰/۱۲	۹۷/۲۳	۸۴/۶۷	۹۵/۷	۹۵/۶۷	۳۰/۴۸
	۱۰	۶/۹۵	۱۰/۹۹	۱۵/۰۹	۶۷/۷۶	۱۴۴/۰۱	۱۴۵/۴۶	۱۲۱/۹۴	۱۲۴/۴۱	۱۰/۶/۹۳	۱۲۷/۷۳	۱۲۷/۷۶	۴۷/۵۸
	۲۰	۹/۴۰	۱۴/۴۵	۲۰/۰۵	۸۲/۶۰	۱۷۵/۴۷	۱۶۳/۲۶	۱۴۰/۸۴	۱۵۲/۲۰	۱۲۸/۹۸	۱۶۰/۱۴	۱۵۸/۹۵	۶۵/۷۵
	۲۵	۷	۱۵/۷۵	۲۱/۹۹	۸۷/۳۰	۱۸۵/۶۵	۱۶۸/۴۷	۱۴۶/۷۲	۱۶۱/۳۹	۱۳۶/۰/۷	۱۷۰/۷۳	۱۶۸/۸۹	۷۱/۸۶
	۵۰	۶۰/۱۲	۱۹/۳۴	۲۷/۲۴	۱۰/۱/۸۸	۲۱۷/۷۵	۱۸۴/۰۳	۱۶۴/۷۰	۱۹۰/۷۲	۱۵۸/۴۹	۲۰/۳/۶۶	۱۹۹/۸۵	۹۲/۱۶
	۱۰۰	۱۵/۱۲	۲۳/۰۵	۳۲/۴۱	۱۱۶/۴۵	۲۵۰/۵۶	۱۹۸/۶۶	۱۸۲/۱۱	۱۷۳/۰۰	۱۸۱/۳۷	۲۳۷/۴۲	۲۳۱/۲۸	۱۱۴/۲۲
	۲۰۰	۱۷/۲۸	۲۶/۶۶	۳۷/۹۷	۱۳۱/۳۱	۲۸۴/۱۴	۲۱۳/۲۹	۱۹۹/۱۸	۲۵۵/۰۲	۲۰۴/۸۰	۲۷۱/۹۰	۲۶۳/۰/۶	۱۳۸/۱۱
	۲	۰/۴۶	۴/۳۳	۹/۱۸	۴۴/۹۰	۹۴/۱۲	۸۷/۶۳	۶۶/۹۱	۵۰/۹۲	۶۰/۷۹	۴۰/۴۶	۳/۰۴	۲
	۵	۱/۳۶	۱۲/۶۶	۱۸/۳۴	۷۹/۶۵	۱۴۹/۱۲	۱۲۸/۶۹	۹۹/۱۳	۱۰/۴۲	۸/۳۹	۱۰/۷/۴۵	۹۸/۴۸	۲۲/۲۵
قباقلو	۱۰	۱/۹۱	۱۸/۰۲	۲۴/۳۲	۱۰/۲/۶	۱۸۸/۳۵	۱۵۳/۱۱	۱۱۷/۷۶	۱۲/۹۴	۱۰/۳/۴۰	۱۳۸/۴۷	۱۳۹/۸۴	۴۰/۵۰
	۲۰	۲/۲۲	۲۲/۰۷	۳۰/۰۳	۱۲۴/۴۱	۲۲۷/۷۷	۱۷۴/۹۳	۱۳۴/۹۱	۱۴۷/۶۸	۱۳۷/۴۶	۱۶۸/۲۶	۱۸۱/۵۵	۵۹/۴۳
	۲۵	۲/۵۳	۲۴/۶۵	۳۱/۹۶	۱۳۱/۴۶	۲۴۰/۴۹	۱۸۱/۵۷	۱۳۸/۸۲	۱۵۴/۲۰	۱۴۵/۱۹	۱۷۷/۷۵	۱۹۴/۹۸	۶۶/۱۰
	۵۰	۲/۹۶	۲۹/۶۶	۳۷/۵۲	۱۵۲/۷۶	۲۸۰/۸۶	۲۰۱/۴۹	۱۵۲/۹۶	۱۳۷/۵۵	۱۶۸/۸۰	۲۰/۶/۹۱	۲۳۸/۰/۲	۸۸/۱۸
	۱۰۰	۳/۱۵	۳۴/۲۱	۴۳/۱۰	۱۷۴/۲۹	۳۲۲/۳۴	۲۲۰/۳۴	۱۶۶/۱۲	۱۹۲/۵۲	۱۹۲/۰/۵۹	۲۳۶/۱۸	۲۸۲/۶۹	۱۱۲/۹۷
	۲۰۰	۳/۵۳	۳۸/۸۳	۴۸/۸۲	۱۹۵/۸۱	۳۶۵/۳۲	۲۲۸/۴۹	۱۷۸/۸۲	۲۱۰/۹۳	۲۱۶/۲۸	۲۶۵/۶۶	۳۲۹/۱۹	۱۴۰/۴۳
	۲	۰/۹۰	۰/۲۰	۰/۱۹	۸/۰۲	۴۸/۱۸	۱۰۴/۷۶	۸۳/۶۱	۵۷/۸۰	۵۵/۴۶	۴۷/۵۰	۶۲/۵۸	۱۴/۵۷
	۵	۷/۸۳	۱/۹۹	۲/۴۳	۲۲/۱۱	۸۷/۲۴	۱۴۵/۸۷	۱۲۹/۱۳	۱۰/۲۵	۸۵/۰۲	۹۳/۲۰	۱۰/۸/۰۸	۴۳/۳۸
	۱۰	۱۲/۳۲	۳/۴۴	۵/۲۹	۳۱/۹۰	۱۱۶/۱۵	۱۶۷/۶۷	۱۵۸/۹۶	۱۳۸/۵۶	۱۰/۶/۱۳	۱۳۰/۲۵	۱۳۷/۴۳	۶۴/۴۲
	۲۰	۱۶/۶۸	۵/۰۸	۸/۹۰	۴۱/۹۶	۱۴۴/۸۰	۱۸۶/۰۳	۱۸۷/۵۹	۱۷۷/۵۷	۱۷۷/۴۱	۱۶۹/۱۱	۱۶۴/۴۳	۸۶/۰۶
	۲۵	۱۸/۰۴	۵/۵۳	۱۰/۲۶	۴۵/۱۳	۱۵۴/۱۴	۱۹۱/۵۶	۱۹۶/۷۹	۱۹۰/۹۴	۱۳۴/۳۲	۱۸۱/۹۰	۱۷۳/۰/۰	۹۳/۱۷
پیار	۵۰	۲۲/۲۶	۷/۴۰	۱۴/۵۱	۵۵/۲۱	۱۸۲/۹۱	۲۰۳/۸۶	۲۲۴/۷۰	۲۳۴/۷۹	۱۵۶/۵۰	۲۲۲/۵۳	۱۹۸/۵۳	۱۱۶/۰۰
	۱۰۰	۲۶/۵۲	۹/۲۶	۹/۱۹	۶۵/۵۲	۲۱۲/۱۱	۲۲۱/۱۴	۲۵۲/۴۴	۲۸۲/۹۳	۱۷۹/۴۸	۲۶۴/۴۰	۲۲۳/۳۵	۱۴۰/۰۴
	۲۰۰	۳۰/۶۰	۱۱/۴۹	۲۴/۴۳	۷۶/۲۰	۲۴۱/۴۶	۱۲/۳۳۴	۲۸۰/۰۲	۳۳۵/۶۲	۲۰/۳/۳۷	۳۰/۷/۵۰	۳۴۷/۸۱	۱۶۵/۳۵
	۲	۰/۹۰	۰/۲۰	۰/۱۹	۸/۰۲	۴۸/۱۸	۱۰۴/۷۶	۸۳/۶۱	۵۷/۸۰	۵۵/۴۶	۴۷/۵۰	۶۲/۵۸	۱۴/۵۷
	۵	۷/۸۳	۱/۹۹	۲/۴۳	۲۲/۱۱	۸۷/۲۴	۱۴۵/۸۷	۱۲۹/۱۳	۱۰/۲۵	۸۵/۰۲	۹۳/۲۰	۱۰/۸/۰۸	۴۳/۳۸

فسرده‌گی و ارتفاع حداکثر و مرداد با طول آبراهه اصلی ارتباط دارد. در دوره‌های بازگشت ۱۰۰ و ۲۰۰ ساله، فروردین با مجموع طول آبراهه‌ها و تراکم زهکشی، خداداد با بارش، ماه تیر با محیط، ماه مرداد با طول آبراهه اصلی، ماه شهریور با ارتفاع حداکثر حوزه آبخیز مرتبط می‌باشد. همچنین دقت در کلیه مدل‌های رگرسیونی حاصل از فرآیند مدل سازی مؤید کمترین و بیشترین خطای تخمین بهترین مربوط به رگرسیون چند متغیره بود. با توجه به تفاوت میزان مجموع طول فروردین و رگرسیون دو متغیره بود. ماه تیر با دوره بازگشت ۵ سال برای ماه مرداد بوده است. از طرفی عمل برتر مدل‌های رگرسیونی چند متغیره در مقایسه با دو متغیره به دلیل لحاظ نتش تجمعی عوامل مؤثر بر تولید روان آب مورد تأیید قرار گرفت. نتایج به دست آمده همچنین بر عدم امکان تهییه مدل قابل اعتماد از دیدگاه آماری برای برخی از ماهها و در دوره‌های بازگشت خاص، به سبب تغییر پذیری عوامل و یا شدت اثر آن‌ها بر فرآیند تولید روان آب در ماه‌های مذکور دلالت داشته است.

نتایج حاصل از رگرسیون چند متغیره نیز نشان داد که حالت لگاریتمی متغیرهای مستقل در محاسبات بدون تجزیه و تحلیل عاملی و با تجزیه و تحلیل عاملی مناسب‌تر از بقیه حالات می‌باشد که با نتایج لوگان و تانگ (۲۹) مطابقت داشته و با نتایج سلیمانی و همکاران (۱۱) و توکلی و رستمی نیما (۲) به ترتیب مبنی بر ارجحیت مدل‌های توانی و خطی در تبیین دیجی حوزه‌های آبخیز گران‌رود و استان ایلام مغایرت دارد. با توجه به نتایج حاصل از مدل‌های رگرسیونی بدون تجزیه و تحلیل عاملی، ماه مهر در دوره بازگشت دو ساله با متغیر مساحت، و ارديبهشت و تیر با بارش‌های متناظر خود مرتبط بوده‌اند. در دوره بازگشت پنج ساله، ماه اردیبهشت با بارش، خداداد با بارش و طول آبراهه اصلی، ماه تیر با بارش، ضریب فشرده‌گی و جهت شمال و ماه شهریور با ارتفاع حداقل ارتباط دارد. در دوره‌های بازگشت ۱۰، ۲۰، ۲۵، ۵۰ ماه فروردین با بارش و مجموع طول آبراهه‌ها، خداداد با بارش و تراکم زهکشی، شهریور با ضریب

(ادامه جدول ۳)-دادهای بارش با دوره‌های بازگشت مختلف (سال) در حوزه‌های آبخیز مطالعاتی استان کردستان

دوره بازگشت (سال)													حوزه آبخیز
شهریور	مرداد	تیر	خرداد	اردیبهشت	فروردین	اسفند	دی	بهمن	آذر	دی	آبان	مهر	
۰/۵۷	۰/۷۶	۱/۰۹	۷/۲۹	۴۲/۱۴	۳۵/۶	۳۱/۵۸	۱۹/۰۵	۱۴/۳۳	۳۹/۹۴	۳۴/۲۰	۷/۳۴	۲	دهگلان
۳/۳۴	۳/۵۲	۵/۰۴	۱۱/۴۰	۶۵/۸۳	۸۰/۶۸	۴۹/۱۹	۳۰/۵۷	۲۲/۶۲	۶۲/۰۲	۶۴/۰۸	۲۸/۲۹	۵	
۵/۲۴	۶/۳۰	۱۰/۰۷	۲۶/۰۸	۸۲/۴۶	۹۶/۱۶	۵۹/۲۰	۴۰/۰۳	۲۹/۰۵	۸۰/۷۳	۸۵/۱۸	۴۷/۰۱	۱۰	
۷/۲۳	۹/۰۳	۱۵/۹۲	۴۴/۰۴	۹۹/۴۹	۱۰۹/۴۵	۶۹/۵۸	۵۰/۰۴	۳۵/۶۵	۹۷/۸۰	۹۷/۸۰	۶۷/۴۲	۲۰	
۷/۹۵	۱۰/۰۷	۱۸/۱۱	۵۰/۳۷	۱۰۵/۲۴	۱۱۳/۴۸	۷۰/۱۹	۵۳/۳۳	۳۷/۱۸	۱۰۳/۰۰	۱۱۳/۷۳	۸۰/۱۸	۲۵	
۱۰/۳۲	۱۳/۲۲	۲۴/۸۶	۷۰/۳۷	۱۲۳/۶۲	۱۲۵/۳۷	۷۷/۵۵	۶۴/۱۵	۴۳/۶۱	۱۱۹/۱۹	۱۳۹/۵۶	۹۶/۵۶	۵۰	
۱۲/۷۳	۱۶/۴۴	۳۲/۴۸	۹۴/۱۴	۱۴۳/۴۸	۱۳۶/۲۸	۸۴/۳۸	۷۵/۷۶	۴۹/۳۸	۱۳۴/۴۹	۱۶۱/۱۶	۱۲۰/۰۴	۱۰۰	
۱۵/۴۰	۲۰/۱۵	۴۰/۴۲	۱۱۸/۶۸	۱۶۵/۰۰	۱۴۶/۶۲	۹۰/۵۷	۸۷/۸۹	۵۴/۸۱	۱۴۹/۵۰	۱۸۹/۰۸	۱۴۴/۶۷	۲۰۰	
۱/۰۹	۲/۳۰	۳/۶۱	۱۸/۴۶	۴۱/۲۳	۳۱/۲۶	۲۴/۸۴	۲۰/۹۱	۱۸/۵۵	۱۷/۴۳	۱۵/۱۰	۵/۶۸	۲	
۳/۴۹	۷/۴۵	۸/۶۰	۳۷/۳۱	۷۱/۰۷	۴۷/۸۰	۴۲/۴۶	۳۳/۱۹	۲۶/۰۰	۲۷/۹۶	۳۱/۸۰	۱۱/۲۲	۵	
۵/۳۸	۹/۶۷	۱۲/۱۹	۵۰/۴۱	۹۳/۸۲	۵۸/۱۰	۵۵/۶۳	۴۲/۶۰	۳۰/۴۸	۳۴/۰۶	۴۳/۳۱	۱۶/۴۷	۱۰	بیجار
۷/۲۶	۱۳/۲۰	۱۵/۳۱	۶۲/۴۰	۱۱۷/۲۹	۷۰/۰۲	۶۷/۸۸	۵۰/۸۸	۳۳/۵۴	۳۹/۹۰	۵۳/۲۳	۲۱/۸۸	۲۰	
۷/۹۵	۱۵/۸۰	۱۶/۵۸	۶۹/۳۳	۱۲۴/۹۶	۷۲/۷۵	۷۲/۱۵	۵۲/۹۱	۳۴/۸۵	۴۱/۴۸	۵۴/۸۰	۲۳/۴۷	۲۵	
۱۰/۲۲	۱۸/۶۰	۲۲/۰۰	۸۳/۹۹	۱۴۸/۵۳	۸۳/۱۸	۸۳/۹۷	۶۲/۴۴	۳۷/۳۱	۴۳/۰۰	۶۴/۲۲	۲۸/۹۹	۵۰	
۱۲/۵۳	۲۱/۸۸	۲۶/۶۰	۱۰۲/۴۵	۱۷۳/۷۶	۹۴/۶	۹۶/۴۶	۷۲/۴۴	۳۹/۸۷	۵۲/۳۸	۷۴/۷۰	۳۵/۶۹	۱۰۰	
۱۵/۰۹	۲۴/۲۶	۳۱/۶۰	۱۲۰/۴۸	۱۹۲/۲۰	۱۰۵/۲۸	۱۰۷/۸۰	۳۳/۱۱	۴۲/۵۳	۵۵/۴۹	۸۴/۸۰	۴۲/۳۳	۲۰۰	
۱/۰۳	۲/۶۹	۲/۷۹	۱۸/۷۳	۴۶/۸۸	۴۱/۵۷	۲۸/۰۳	۱۹/۷۳	۱۹/۰۷	۳۰/۲۶	۲۳/۱۸	۶/۴۰	۲	
۳/۵۱	۷/۷۵	۸/۱۳	۳۶/۷۹	۷۰/۱۱	۶۲/۰۶	۴۳/۹۰	۳۲/۲۰	۲۸/۵۳	۵۱/۶۶	۴۷/۳۵	۱۷/۴۱	۵	
۵/۲۶	۱۱/۴۵	۱۳/۰۹	۴۹/۸۶	۸۰/۹۱	۷۴/۵۰	۵۴/۰۱	۴۰/۹۹	۳۳/۶۶	۶۵/۳۳	۶۲/۹۶	۲۶/۵۴	۱۰	
۷/۰۶	۱۵/۲۳	۱۸/۶۲	۶۳/۴۱	۱۰۱/۵۶	۸۵/۷۳	۶۳/۳۸	۵۰/۲۶	۳۷/۹۴	۷۸/۱۸	۷۷/۲۷	۳۶/۰۲	۲۰	خلیفه
۷/۸۱	۱۶/۲۴	۲۰/۴۱	۶۷/۵۲	۱۰۶/۶۷	۸۹/۲۵	۶۶/۲۳	۵۳/۱۰	۳۹/۱۲	۸۲/۳۱	۸۲/۰۰	۳۹/۱۶	۲۵	
۹/۷۶	۲۰/۰۸	۲۶/۵۴	۸۱/۲۰	۱۲۲/۵۵	۹۹/۶۳	۷۵/۳۰	۶۲/۸۰	۴۲/۵۷	۹۴/۶۱	۹۵/۷۵	۴۹/۵۵	۵۰	
۱۱/۷۶	۲۳/۶۰	۳۳/۲۴	۹۴/۸۴	۱۳۸/۸۶	۱۰۹/۴۹	۸۳/۹۹	۷۲/۹۱	۴۵/۹۴	۱۰۶/۶۳	۱۰۹/۴۹	۶۰/۲۴	۱۰۰	
۱۴/۱۳	۲۷/۴۸	۴۰/۱۵	۱۰۸/۷۷	۱۵۵/۷۱	۱۱۹/۱۴	۹۲/۵۴	۸۳/۴۹	۴۸/۸۰	۱۱۸/۴۴	۱۲۳/۶۳	۷۱/۵۰	۲۰۰	
۰/۹۸	۲/۵۸	۲/۷۷	۱۸/۲۲	۴۶/۶۳	۴۲/۴۷	۲۹/۵۶	۲۱/۱۶	۲۰/۴۶	۳۱/۷۷	۲۳/۸۶	۶/۴۹	۲	
۳/۳۶	۷/۴۳	۷/۹۴	۳۵/۹۸	۷۰/۰۳	۶۳/۱۵	۴۶/۲۱	۳۴/۰۳	۳۰/۴۱	۵۵/۵۴	۴۸/۴۵	۱۷/۷۲	۵	چهلتری
۵/۰۵	۱۱/۰۰	۱۲/۸۱	۴۹/۰۸	۸۰/۹۵	۷۵/۶۶	۵۶/۸۲	۴۳/۰۱	۳۵/۸۷	۶۷/۰۹	۶۴/۴۰	۲۶/۹۹	۱۰	
۶/۸۰	۱۴/۶۳	۱۸/۲۳	۶۲/۵۷	۱۰۱/۵۰	۸۶/۹۲	۶۶/۶۵	۵۲/۴۱	۴۰/۴۹	۷۹/۸۷	۷۹/۰۷	۳۶/۶۰	۲۰	
۷/۵۳	۱۵/۶۱	۱۹/۹۷	۶۶/۸۲	۱۰۶/۶	۹۰/۴۵	۶۹/۷۴	۵۵/۲۹	۴۱/۷۷	۸۳/۹۶	۸۳/۹۰	۳۹/۷۸	۲۵	
۹/۴۳	۱۹/۳۱	۲۵/۹۷	۸۰/۵۳	۱۲۲/۴۰	۱۰۰/۸۴	۷۹/۱۴	۶۵/۰۷	۴۵/۵۵	۹۶/۱۳	۹۵/۰۴	۵۰/۹۰	۵۰	
۱۱/۳۸	۲۲/۷۲	۳۲/۵۲	۹۴/۴۵	۱۳۸/۵۹	۱۱۰/۷۰	۸۸/۲۵	۷۵/۲۲	۴۹/۲۵	۱۰۷/۹۸	۱۱۲/۱۸	۶۱/۱۳	۱۰۰	
۱۳/۶۸	۲۶/۴۶	۳۹/۲۷	۱۰۸/۷۹	۱۵۵/۲۶	۱۲۰/۳۴	۹۷/۲۱	۸۵/۸۲	۵۲/۴۵	۱۱۹/۵۹	۱۲۶/۷۲	۷۵/۵۳	۲۰۰	

هیدرولوژیکی در قالب مدل‌های توزیعی^۱ مطابقت دارد.
تحقیق حاضر به منظور شناسایی و مدل‌سازی تولید روان آب با دوره‌های بازگشت مختلف و مستند بر داده‌های جامع جمع‌آوری شده هفت حوزه آبخیز در استان کردستان و کاربرد انواع مدل‌سازی دو و چند متغیره، تجزیه و تحلیل عاملی و شکل‌های مختلف داده‌های

این یافته با اطلاعات جلدسن و همکاران (۲۸)، جونز و کی (۲۷) و موسی و همکاران (۳۱) به ترتیب مبنی بر ضرورت استفاده از مدل‌های شخصی در تجزیه و تحلیل منطقه‌ای سیلاب در افریقای جنوبی برای لحاظ متغیرهای متعدد، وجود عدم یقین‌های زیاد در مدل‌سازی بارش-روان آب و نیز ضرورت لحاظ تغییرات مکانی در مدل‌سازی

عمل کرد مدل‌های تهیه شده با شواهد و قرائن منطقه‌ای، توسعه و تعمیم مطالعات مشابه با استفاده از آمار و اطلاعات دقیق‌تر و جامع‌تر در استان کردستان، بررسی امکان منطقه‌ای سازی مدل‌های تهیه شده به حوزه‌های آبخیز واقع در استان‌های هم‌جوار و بهره‌گیری از سایر شیوه‌های مدل‌سازی مبتنی بر روش‌های استفاده از شبکه عصبی مصنوعی، منطق فازی و سامانه پشتیبانی تصمیم‌گیری و فرایند تحلیل سلسه مراتبی پیشنهاد می‌شود.

فیزیوگرافی و اقلیمی انجام گرفت. نتایج حاصل از تحقیق در مجموع دلالت بر امکان تهیه مدل‌های ساده و متفاوت برآورد سیالاب با بزرگی‌های مختلف با استفاده از متغیرهای ساده فیزیوگرافی داشته است. اگر چه تحقیق انجام شده حاصل تلاش‌های بسیار زیاد به کارگیری دیدگاه‌های مختلف مدل‌سازی در راستای درک سامانه‌های حاکم بر فرآیند تولید روان‌آب در حوزه‌های آبخیز استان کردستان بود لکن انجام تحقیقات مختلف با محوریت ارزیابی دقیق

(جدول ۴)- داده‌های مربوط به دبی با دوره‌های بازگشت مختلف (سال) در حوزه‌های آبخیز مطالعاتی در استان کردستان

۱/۳۴	۱/۹۸	۷/۰۵	۵/۱۲	۱۲/۱۵	۲۰/۲۷	۵/۹۵	۲۰
۱/۴۵	۲/۱۵	۷/۸۲	۵/۷۳	۱۲/۹۹	۲۱/۲۷	۶/۲۹	۲۵
۱/۷۹	۲/۷۳	۱۰/۷۱	۸/۰۳	۱۵/۷	۲۴/۲۲	۷/۴۴	۵۰
۲/۱۴	۲/۳۲	۴/۵۲	۱۱/۰۸	۱۸/۶	۲۷/۳	۸/۷۲	۱۰۰
۲/۵۱	۳/۹۴	۱۹/۵۱	۱۵/۱۱	۲۱/۶۹	۳۰/۲۲	۱۰/۱۷	۲۰۰
۰/۸۸	۱/۲۱	۵/۲۲	۳/۵۸	۱۰/۶۸	۱۸/۵۳	۴/۹۳	۲
۱/۶۲	۲/۳۳	۹/۶۹	۶/۷۷	۱۸/۱۹	۳۴/۰۴	۷/۵۵	۵
۲/۴	۳/۰۹	۱۳/۲۹	۹/۳۳	۲۴/۷۶	۴۵/۶	۹/۵	۱۰
۳/۲	۳/۸۲	۱۷/۲	۱۲/۰۹	۳۲/۴۵	۵۷/۲۲	۱۱/۵۴	۲۰
۳/۴۹	۴/۰۶	۱۸/۵۲	۱۳/۰۲	۳۵/۲	۶۱/۱۳	۱۲/۲۱	۲۵
۴/۴۳	۴/۷۹	۲۲/۸۸	۱۶/۰۸	۴۴/۷۷	۷۳/۱۳	۱۴/۴	۵۰
۵/۴۵	۵/۵۳	۲۷/۶	۱۹/۳۷	۵۶/۰۹	۸۵/۳۷	۱۶/۷۳	۱۰۰
۶/۵۴	۶/۲۸	۳۲/۷۲	۲۲/۹	۶۹/۴۶	۹۷/۸۲	۱۹/۲۳	۲۰۰

(ادامه جدول ۴) - داده‌های مربوط به دبی با دوره‌های بازگشت مختلف (سال) در حوزه‌های آبخیز مطالعاتی در استان کردستان

ماه دوره بازگشت (سال) بیجار سقز گاران چهل‌گزی خلیفه ترخان دهگلان بیار							
۱/۲۲	۲/۸۲	۷/۹	۷/۰۳	۲۴/۵۲	۲۹/۹۱	۱۲/۴۱	۲
۱/۸۵	۴/۷۵	۱۵/۱۲	۱۱/۸۹	۳۲/۷۶	۴۷/۸۲	۲۰/۷۶	۵
۲/۲۶	۵/۹۷	۲۰/۸	۱۴/۷۸	۳۷/۳۷	۵۹/۳۵	۲۵/۸۸	۱۰
۲/۶۵	۷/۱۱	۲۶/۷۷	۱۷/۲۲	۴۱/۳۴	۶۹/۹۳	۳۰/۵۴	۲۰
۲/۷۷	۷/۴۶	۲۸/۷۶	۱۷/۹۲	۴۲/۰۲	۷۳/۱۸	۳۱/۹۷	۲۵
۳/۱۴	۸/۵۲	۳۵/۱۷	۱۹/۹۱	۴۵/۹۷	۸۲/۸۵	۳۶/۲۵	۵۰
۳/۵	۹/۵۴	۴۱/۹۱	۲۱/۶۲	۴۹/۱۷	۹۱/۹۹	۴۰/۳۵	۱۰۰
۳/۸۷	۱۰/۰۴	۴۸/۹۸	۲۳/۰۹	۵۲/۱۷	۱۰۰/۶۶	۴۴/۳۲	۲۰۰
۰/۴۹	۱/۵۲	۵/۷	۳/۰۶	۱۱/۹۹	۲۱/۹	۱۰/۳۶	۲
۰/۷۹	۳/۲۹	۸/۶۸	۵/۱۲	۱۶/۳۶	۳۵/۲۴	۱۹/۱۲	۵
۰/۹۹	۴/۷۱	۱۰/۵۱	۶/۶۴	۱۹/۲۴	۴۳/۷۴	۲۴/۹۳	۱۰
۱/۱۸	۶/۲۵	۱۲/۱۸	۷/۷۳	۲۲/۰۱	۵۱/۶	۳۰/۴۳	۲۰
۱/۱۴	۶/۷۸	۱۲/۷	۸/۱۳	۲۲/۸۸	۵۴/۹۴	۳۲/۱۶	۲۵
۱/۴۲	۸/۰	۱۴/۲۵	۹/۳۶	۲۵/۰۹	۶۱/۴۳	۳۷/۴۴	۵۰
۱/۶۱	۱۰/۳۹	۱۵/۷۶	۱۰/۰۸	۲۸/۳	۶۸/۵۸	۴۲/۸۲	۱۰۰
۱/۱۸	۱۲/۲۴	۱۷/۲۲	۱۱/۸۱	۳۱/۰۳	۷۵/۵۶	۴۷/۷۳	۲۰۰
۰/۱۹	۰/۱۰۶	۱/۳۲۱	۰/۱۸۷	۳/۰۶	۴/۰۹	۲/۰۹	۲
۰/۴۶۱	۰/۰۹۴	۲/۳۵	۱/۰۴	۴/۴۱	۸/۴۱	۵/۱۶	۵
۰/۷۰	۰/۹۹۶	۳/۱۸	۱/۸۵	۵/۰۶	۱۱/۵۳	۷/۴۱	۱۰
۰/۹۷	۱/۴۴	۴/۰۳	۲/۰۴	۵/۰۵	۱۴/۹۶	۹/۶۴	۲۰
۱/۰۶	۱/۰۵۹	۴/۳۲	۲/۰۹	۵/۶۸	۱۶/۱۵	۱۰/۳۷	۲۵
۱/۳۶	۲/۰۸	۵/۲۱	۲/۲	۶/۰۱	۲۰/۰۷	۱۲/۸۲	۵۰
۱/۶۷	۲/۰۸	۶/۱۲	۲/۲۶	۶/۲۷	۲۴/۴۱	۱۴/۸۹	۱۰۰
۲	۳/۱۲	۷/۰۶	۲/۲۹	۶/۴۷	۲۹/۲	۱۷/۱۸	۲۰۰
۰/۰۴	۰/۰۳	۰/۳	۰/۱۱	۰/۴۳	۰/۹۷	۰/۲۵	۲
۰/۰۹	۰/۰۹	۰/۵۳	۰/۲	۰/۶۴	۱/۸۸	۰/۹۱	۵
۰/۱۴	۰/۰۲۵	۰/۷۱	۰/۳۹	۰/۷۹	۲/۳۸	۱/۴۴	۱۰
۰/۱۸	۰/۰۹	۰/۹۱	۰/۶۷	۰/۹۴	۲/۷۵	۱/۹۹	۲۰
۰/۱۹	۰/۰۹	۰/۹۸	۰/۷۷	۰/۹۹	۲/۸۵	۲/۱۷	۲۵
۰/۲۴	۰/۰۹	۱/۲	۱/۱۴	۱/۱۴	۳/۰۹	۲/۷۵	۵۰

اسفند

فروردین

اردیبهشت

خرداد

تیر

۰/۲۸	۱/۳۶	۱/۴۵	۱/۵۷	۱/۳	۳/۲۷	۳/۳۵	۱۰۰
۰/۳۳	۱/۸۳	۱/۷۱	۲/۰۶	۱/۴۶	۳/۳۹	۳/۹۵	۲۰۰
۰/۰۲	۰/۰۱	۰/۰۵	۰/۰۱	۰/۰۵	۰/۲۸	۱/۲۴	۲
۰/۰۳	۰/۲	۰/۱۵	۰/۰۶	۰/۱۱	۰/۶۴	۲/۰۲	۵
۰/۰۴	۰/۳۸	۰/۲۴	۰/۱۵	۰/۱۷	۰/۹	۲/۴۹	۱۰
۰/۰۵	۰/۵۹	۰/۳۴	۰/۲۸	۰/۲۴	۱/۱۵	۲/۹۲	۲۰
۰/۰۵	۰/۶۷	۰/۳۸	۰/۳۲	۰/۲۶	۱/۲۳	۳/۰۵	۲۵
۰/۰۶	۰/۹۴	۰/۴۹	۰/۴۸	۰/۳۴	۱/۴۹	۳/۴۵	۵۰
۰/۰۸	۱/۲۴	۰/۶۱۲	۰/۶۶	۰/۴۴	۱/۷۴	۳/۸۳	۱۰۰
۰/۰۹	۱/۶	۰/۷۴	۰/۸۶	۰/۵۵	۲	۴/۲	۲۰۰
۰/۰۱	۰/۰۱	۰/۰۳	۰/۰	۰/۰۲	۰/۰۴	۰/۲۳۳	۲
۰/۰۲۵	۰/۱۹	۰/۲۶	۰/۰۱	۰/۰۴۲	۰/۲	۰/۶۴۸	۵
۰/۰۳۹	۰/۳۵	۰/۴۸	۰/۰۳	۰/۰۶۲	۰/۴۳	۰/۹۷۵	۱۰
۰/۰۴۴	۰/۵۴	۰/۷۳	۰/۰۷	۰/۰۸۲	۰/۷۳	۱/۳۱	۲۰
۰/۰۵۹	۰/۶۱	۰/۸۱	۰/۰۸	۰/۰۸۹	۰/۸۳	۱/۴۲	۲۵
۰/۰۷۴	۰/۸۵	۱/۰۹	۰/۱۳	۰/۱۱	۱/۲	۱/۷۷	۵۰
۰/۰۹۱	۱/۱۲	۱/۳۹	۰/۱۸	۰/۱۳۲	۱/۶	۲/۱۳	۱۰۰
۰/۱۰۸	۱/۴۵	۱/۷	۰/۲۵	۰/۱۵۵	۲/۰۵	۲/۵۰	۲۰۰

مرداد

شهریور

(جدول ۵)- برترین معادلات رگرسیونی دو متغیره با دوره بازگشت ۲۵ سال در ماههای مختلف حوزه های آبخیز مطالعاتی در استان کردستان

شماره رابطه	ماه	معادله	درصد خطا			
			استاندارد	اشتباه	سطح معنی- داری	مجموع
استاندارد	تخمین	تایید	مربعات خطا	ضریب همبستگی تبیین	ضریب همبستگی استاندارد شده (β)	معادله
۰/۴۹۲	۱۶۳	۶۷/۴	۰/۶۱۸	۰/۰۲۳	۰/۷۶۴	$P_{me}=0/874$
۱/۴۶	۱۷۱	۶۵/۵	۱/۹۶	۰/۰۱۰	۰/۹۴۵	$Cc^2=30/06$
۱/۸۷	۸۵/۷	۶۸/۱۷	۲/۴۱	۰/۰۱۷	۰/۹۳۴	$Cc^3=30/73$
۲/۸۹	۱۰۳/۵	۱۳۲	۳/۸۸	۰/۰۲۳	۰/۹۲۰	$Cc=-17/13$
-	-	-	-	-	-	$Cc^3=17/67$
-	-	-	-	-	-	$Q_{az}=-1355.95Cc+217.1Cc^3+1303.75$
-	-	-	-	-	-	$Q_{de}=-4288.75Cc+1482.2Cc^2+3100.25$
-	-	-	-	-	-	-
۲/۴۶	۱۴۶	۳۶/۹	۲/۸۸	۰/۰۱۶	۰/۸۰۱	$P_{kh}=0/895$
۰/۵۰۵	۹۷	۶۸/۷	۰/۳۹۹	۰/۰۲۹	۰/۹۰۶	$W=13/29$
۰/۳۶۲	۴۶	۱۶۷/۴	۰/۴۷۴	۰/۰۰۸	۰/۸۵۴	$W^2=-13/57$
۰/۲۲۲	۴۰۵	۸۵/۴	۰/۲۴۶	۰/۰۱۴	۰/۸۱۶	$Wl=0/924$
						$Q_{mo}=0.048Wl-0.704$
						$Mx=0/903$
						$Q_{sh}=0.002Mx-4.22$
						$Q_{sh}=0.015P_{me}-0.581$
						$Q_{ab}=-794.56Cc^2+369.16Cc^3+544.14$
						$Q_{kh}=0.165P_{kh}-5.88$
						$Q_{ti}=2.95W-0.07W^2-28.75$
						$Wl=0/924$
						$Q_{mo}=0.048Wl-0.704$
						$Mx=0/903$
						$Q_{sh}=0.002Mx-4.22$
						$Q_{sh}=0.015P_{me}-0.581$
						$Q_{ab}=-794.56Cc^2+369.16Cc^3+544.14$
						$Q_{kh}=0.165P_{kh}-5.88$
						$Q_{ti}=2.95W-0.07W^2-28.75$
						$Wl=0/924$
						$Q_{mo}=0.048Wl-0.704$
						$Mx=0/903$
						$Q_{sh}=0.002Mx-4.22$
						$Q_{sh}=0.015P_{me}-0.581$
						$Q_{ab}=-794.56Cc^2+369.16Cc^3+544.14$
						$Q_{kh}=0.165P_{kh}-5.88$
						$Q_{ti}=2.95W-0.07W^2-28.75$
						$Wl=0/924$
						$Q_{mo}=0.048Wl-0.704$
						$Mx=0/903$
						$Q_{sh}=0.002Mx-4.22$
						$Q_{sh}=0.015P_{me}-0.581$
						$Q_{ab}=-794.56Cc^2+369.16Cc^3+544.14$
						$Q_{kh}=0.165P_{kh}-5.88$
						$Q_{ti}=2.95W-0.07W^2-28.75$
						$Wl=0/924$
						$Q_{mo}=0.048Wl-0.704$
						$Mx=0/903$
						$Q_{sh}=0.002Mx-4.22$
						$Q_{sh}=0.015P_{me}-0.581$
						$Q_{ab}=-794.56Cc^2+369.16Cc^3+544.14$
						$Q_{kh}=0.165P_{kh}-5.88$
						$Q_{ti}=2.95W-0.07W^2-28.75$
						$Wl=0/924$
						$Q_{mo}=0.048Wl-0.704$
						$Mx=0/903$
						$Q_{sh}=0.002Mx-4.22$
						$Q_{sh}=0.015P_{me}-0.581$
						$Q_{ab}=-794.56Cc^2+369.16Cc^3+544.14$
						$Q_{kh}=0.165P_{kh}-5.88$
						$Q_{ti}=2.95W-0.07W^2-28.75$
						$Wl=0/924$
						$Q_{mo}=0.048Wl-0.704$
						$Mx=0/903$
						$Q_{sh}=0.002Mx-4.22$
						$Q_{sh}=0.015P_{me}-0.581$
						$Q_{ab}=-794.56Cc^2+369.16Cc^3+544.14$
						$Q_{kh}=0.165P_{kh}-5.88$
						$Q_{ti}=2.95W-0.07W^2-28.75$
						$Wl=0/924$
						$Q_{mo}=0.048Wl-0.704$
						$Mx=0/903$
						$Q_{sh}=0.002Mx-4.22$
						$Q_{sh}=0.015P_{me}-0.581$
						$Q_{ab}=-794.56Cc^2+369.16Cc^3+544.14$
						$Q_{kh}=0.165P_{kh}-5.88$
						$Q_{ti}=2.95W-0.07W^2-28.75$
						$Wl=0/924$
						$Q_{mo}=0.048Wl-0.704$
						$Mx=0/903$
						$Q_{sh}=0.002Mx-4.22$
						$Q_{sh}=0.015P_{me}-0.581$
						$Q_{ab}=-794.56Cc^2+369.16Cc^3+544.14$
						$Q_{kh}=0.165P_{kh}-5.88$
						$Q_{ti}=2.95W-0.07W^2-28.75$
						$Wl=0/924$
						$Q_{mo}=0.048Wl-0.704$
						$Mx=0/903$
						$Q_{sh}=0.002Mx-4.22$
						$Q_{sh}=0.015P_{me}-0.581$
						$Q_{ab}=-794.56Cc^2+369.16Cc^3+544.14$
						$Q_{kh}=0.165P_{kh}-5.88$
						$Q_{ti}=2.95W-0.07W^2-28.75$
						$Wl=0/924$
						$Q_{mo}=0.048Wl-0.704$
						$Mx=0/903$
						$Q_{sh}=0.002Mx-4.22$
						$Q_{sh}=0.015P_{me}-0.581$
						$Q_{ab}=-794.56Cc^2+369.16Cc^3+544.14$
						$Q_{kh}=0.165P_{kh}-5.88$
						$Q_{ti}=2.95W-0.07W^2-28.75$
						$Wl=0/924$
						$Q_{mo}=0.048Wl-0.704$
						$Mx=0/903$
						$Q_{sh}=0.002Mx-4.22$
						$Q_{sh}=0.015P_{me}-0.581$
						$Q_{ab}=-794.56Cc^2+369.16Cc^3+544.14$
						$Q_{kh}=0.165P_{kh}-5.88$
						$Q_{ti}=2.95W-0.07W^2-28.75$
						$Wl=0/924$
						$Q_{mo}=0.048Wl-0.704$
						$Mx=0/903$
						$Q_{sh}=0.002Mx-4.22$
						$Q_{sh}=0.015P_{me}-0.581$
						$Q_{ab}=-794.56Cc^2+369.16Cc^3+544.14$
						$Q_{kh}=0.165P_{kh}-5.88$
						$Q_{ti}=2.95W-0.07W^2-28.75$
						$Wl=0/924$
						$Q_{mo}=0.048Wl-0.704$
						$Mx=0/903$
						$Q_{sh}=0.002Mx-4.22$
						$Q_{sh}=0.015P_{me}-0.581$
						$Q_{ab}=-794.56Cc^2+369.16Cc^3+544.14$
						$Q_{kh}=0.165P_{kh}-5.88$
						$Q_{ti}=2.95W-0.07W^2-28.75$
						$Wl=0/924$
						$Q_{mo}=0.048Wl-0.704$
						$Mx=0/903$
						$Q_{sh}=0.002Mx-4.22$
						$Q_{sh}=0.015P_{me}-0.581$
						$Q_{ab}=-794.56Cc^2+369.16Cc^3+544.14$
						$Q_{kh}=0.165P_{kh}-5.88$
						$Q_{ti}=2.95W-0.07W^2-28.75$
						$Wl=0/924$
						$Q_{mo}=0.048Wl-0.704$
						$Mx=0/903$
						$Q_{sh}=0.002Mx-4.22$
						$Q_{sh}=0.015P_{me}-0.581$
						$Q_{ab}=-794.56Cc^2+369.16Cc^3+544.14$
						$Q_{kh}=0.165P_{kh}-5.88$
						$Q_{ti}=2.95W-0.07W^2-28.75$
						$Wl=0/924$
						$Q_{mo}=0.048Wl-0.704$
						$Mx=0/903$
						$Q_{sh}=0.002Mx-4.22$
						$Q_{sh}=0.015P_{me}-0.581$
						$Q_{ab}=-794.56Cc^2+369.16Cc^3+$

- تهران، ۹۸ ص.
- توکلی م. و رستمی‌نیا م. ۱۳۸۵. ارائه مدل منطقه‌ای سیلاب در حوزه‌های آبخیز استان ایلام. علوم کشاورزی ایران، ۱۲(۲): ۳۴۷-۳۵۶.
- جلالی ح. ۱۳۶۸. بررسی سیلاب‌های ایران. مجموعه مقالات اولین کنفرانس هیدرولوژی ایران، انتشارات وزارت نیرو، ۲۰-۲۳ خرداد ۱۳۶۸، عص.
- چاوشی بروجنی س. و اسلامیان س. ۱۳۷۸. تخمین دبی سیل با تناوب مختلف در حوزه آبخیز زاینده‌رود طبق روش منطقه‌ای هیبرید. مجله علوم کشاورزی و منابع طبیعی اصفهان، ۳(۱-۱۱): ۵۷-۶۷.
- خسروشاهی م. و تقیان ب. ۱۳۸۲. بررسی نقش مشارکت زیرحوزه‌های آبخیز در شدت سیل خیزی حوزه، پژوهش و سازندگی، ۵۹: ۵۹-۶۷.
- داودی رادع. ۱۳۷۸. بررسی روابط بین عوامل مورفومتری حوزه و دبی‌های سیلابی در حوزه‌های آبخیز مرکزی ایران. دانشگاه تهران، پایان‌نامه کارشناسی ارشد آبخیزداری، دانشگاه تهران، ۶۷ ص.
- داودی رادع. و مهدوی م. ۱۳۷۸. بررسی مدل‌های اقلیمی مورفولوژیکی برآورد دبی‌های سیلابی در مناطق خشک و نیمه خشک (مطالعه موردي حوزه آبخیز دریاچه نمک). دومین کنفرانس تغییر اقلیم، سازمان هوافضایی کشور، ۱۳۷۸، ۱۳-۱۴ آبان ۱۴-۱۵۸.
- زرگر م. ۱۳۸۰. راهنمای جامع 10 SPSS همراه با ۶۶ تمرین علمی کاربردی، انتشارات بهینه: تهران، ۵۸۴ ص.
- سرحدی ع. سلطانی س.، خواجه‌الدین س.ج. و مدرس، ر. ۱۳۸۷. آنالیز سیل خیزی منطقه جیرفت با استفاده از مدل دبی آستانه. مجله علوم و مهندسی آبخیزداری ایران، ۲(۳): ۳۰-۳۶.
- سلیمانی ک. ۱۳۶۹. هیدرولوژی حوزه هراز، پایان‌نامه کارشناسی ارشد جغرافیای طبیعی، دانشگاه تبریز، ۳۷۵ ص.
- سلیمانی ک.، یوسفی ع. و کوچک نژاد ق. ۱۳۸۲. بررسی نقش عوامل فیزیوگرافیک حوزه بر دبی‌های حداکثر لحظه‌ای در زیرحوزه‌های گرگان‌رود بهمنظور ارائه مدل منطقه‌ای سیلاب، مجله علوم کشاورزی و منابع طبیعی، ۱۰(۴): ۱۶۱-۱۷۴.
- صادقی س.ح.ر.، مرادی ح.ر.، مزین، م. و وفاخواه، م. ۱۳۸۴. کارایی روش‌های مختلف تجزیه و تحلیل آماری در مدل‌سازی بارش_روان آب (مطالعه موردي: حوزه آبخیز کسیلیان)، مجله علوم کشاورزی و منابع طبیعی، ۱۲(۳): ۸۱-۹۰.
- صادقی س.ح.ر.، نجفی د. و وفاخواه م.، ۱۳۸۵. تحلیل منطقه‌ای برآورد رسوب معلق در حوزه اصفهان و سیرجان، مجله تحقیقات منابع آب، ۲(۳): ۵۱-۶۵.
- غیاثی ن.، غفاری ع.، عرب خدری م. و حاتمی ح. ۱۳۸۱. مقایسه روش‌های برآورد برخی از ویژگی‌های هندسی آبخیزها از نقطه نظر اثر آنها بر سیل‌های حداکثر با دوره بازگشت‌های مختلف، وزارت جهاد کشاورزی، سازمان تحقیقات و آموزش کشاورزی، پژوهشکده حفاظت خاک و آبخیزداری، گزارش نهایی طرح تحقیقاتی، ۷۰ ص.
- فتوحی اردکانی ا. ۱۳۸۱. کتاب آموزشی ۱۰ SPSS (ترجمه)، انتشارات شایگان، ۴۴۸ ص.
- فریفته ج. ۱۳۷۰. تحلیل‌های کمی در ژئومورفولوژی (ترجمه)، انتشارات دانشگاه تهران، ۳۶۸ ص.
- قاسمپور ف. ۱۳۷۴. تجزیه و تحلیل منطقه‌ای سیلاب در غرب مازندران (چالوس-رامسر)، پایان‌نامه کارشناسی ارشد آبخیزداری، دانشگاه تربیت مدرس، ۹۷ ص.
- قربانی ف.، فتحی مقدم م. و بینا م. ۱۳۸۵. استفاده از روش رگرسیون چندگانه بهمنظور مدل‌بندی منطقه‌ای سیلاب مطالعه موردي: حوزه آبخیز مارون، الله و جراحی، مجموعه مقالات هفتمین سمینار مهندسی رودخانه اهواز، ۱۵-۱۷ بهمن ماه ۱۳۸۵، ۱۰ ص.
- مزین م. ۱۳۸۲. بررسی روابط بین اجزای مختلف بارندگی و روان آب در حوزه آبخیز کسیلیان. پایان‌نامه کارشناسی ارشد، گروه مهندسی آبخیزداری، دانشکده منابع طبیعی و علوم دریایی، دانشگاه تربیت مدرس، ۸۱ ص.
- موحد دانش ع. و مقاشری ا. ۱۳۶۸. مدل‌بندی سیلاب‌های منطقه‌ای شرق دریاچه ارومیه، مجموعه مقالات اولین کنفرانس هیدرولوژی ایران، انتشارات وزارت نیرو، ۲۰-۲۳ خرداد ماه ۱۳۶۸، ۱۱ ص.
- مهدوی م. ۱۳۸۱. هیدرولوژی کاربردی. جلد دوم، انتشارات دانشگاه تهران، ۴۱۴ ص.
- مهدوی م. و هاشمی ع. ۱۳۷۶. تعیین بدء متوسط سیل از روی عوامل فیزیکی حوزه‌ها در استان سمنان. پژوهش و سازندگی، ۱۸-۲۰: ۳۶.
- وفاخواه م. ۱۳۷۸. شناخت عوامل مؤثر در سیلاب بهمنظور مهار آنها با استفاده از تجزیه و تحلیل عاملی در رودخانه حوزه قره‌چای، پژوهش و سازندگی، ۷۲-۷۵: ۴۵.
- 24- Campbell A.J. and Sidle R.C. 1984. Prediction of peak flows on small watersheds in Oregon for use in culvert design. Water Resources Bulletin, 20(1):9-14.
- 25- Gerald C. 2002. A Global perspective on dryland river: Perceptions, misconceptions and distinctions, dryland rivers hydrology and Geomorphology of semi-arid channels.

- 26- Green I.R.A., and Steohenson D. 1986. Criteria for comparison of single event models, *Hydrological Sciences Journal*, 31:395-411.
- 27- Jones D.A., and Kay A.L., 2006. Uncertainty analysis for estimating flood frequencies for ungauged catchments using rainfall-runoff models, *Advances in Water Resources*, 30:1190–1204.
- 28- Kjeldsen T.R., Smithers J., and Schulze R. 2002. Regional flood frequency analysis in the Kwazulu-Natal Province, South Africa, using the index-flood method, *Journal of Hydrology*, 255(1-4):194-211.
- 29- Lawgun N., and Toong A.T., 1985. Regional flood-frequency analysis of small catchments in North Auckland and Coromandel (New Zealand), *Journal of Hydrology (New Zealand)* 24(2):64-76.
- 30- Mimikou M., and Rao A.R. 1983. Regional monthly rainfall-runoff model, *Journal of Water Resources Planning and Management*, 109(1):75-93.
- 31- Moussa R., Chahinian N., and Bocquillon C. 2007. Distributed hydrological modelling of a Mediterranean mountainous catchment: Model construction and multi-site validation, *Journal of Hydrology*, 337:35– 51.
- 32- Riggs H.C., 1990. Estimating flow characteristic at ungaged site. IAHS Publication, 190: 159-170.
- 33- Roughani M., Ghafouri M. and Tabatabaei M. 2007. An innovative methodology for the prioritization of sub-catchments for flood control, *International Journal of Applied Earth Observation and Geoinformation*, 9:79–87.
- 34- Sadeghi S.H.R., Mizuyama T., Miyata S., Gomi T., Kosugi K., Fukushima T., Mizugaki S., and Onda Y. 2008. Development, evaluation and interpretation of sediment rating curves for a Japanese small mountainous reforested watershed, *Geoderma*, 144:198-211.
- 35- Shary P.A., Sharaya L.S., and Mitusov A.V. 2002. Fundamental quantitative methods of land surface analysis, *Geoderma*, 107:1–32.
- 36- Stamy T.C., and Hess G.W. 1993. Techniques for estimating magnitude and frequency of floods in rural basins in Georgia. *Water Resources Investigation Report 93-4016*, USGS Publication, 94 p.
- 37- Suresh R. 2000. Soil and water conservation engineering, A.K. Jain Pub., 951 p.
- 38- Telvari A.R., and Islami A.R. 2002. Regional flood frequency in north basins of Iran, In: Proceedings of International Conference on Flood Estimation, Berne, Switzerland, March 6-8, 2002:717-727.
- 39- Yair A., and Yassif A.R., 2004. Hydrological processes in a small arid catchment: scale effects of rainfall and slope length, *Geomorphology*, 61:155–169.
- 40- Zhu Y., and Day R.L. 2009. Regression modeling of streamflow, baseflow, and runoff using geographic information systems, *Journal of Environmental Management*, 90:946–953.



Runoff Generation Modeling for Kurdistan Province Watersheds by using Physiographic and Climatic Variables

B. Salavati¹ - S.H.R. Sadeghi^{2*} - A.R. Telvari³

Abstract

Flood is among phenomena which result considerable damages to resources and is a serious issue among hydrologists. The proper estimation of runoff is necessary for designating appropriate approaches for its control or optimal management. Various problems have been reported in application of empirical models. The regional analysis of runoff with different return periods by applying watershed characteristics is an alternative with numerous applications. In this study, mean discharge data of 7 hydrometric stations in Kurdistan Province watersheds, Iran, were collected for a period of 30 years and discharges with return periods of 2, 5, 10, 20, 25, 50, 100 and 200 years were consequently calculated using SMADA package. The relationship between mean discharges with different return periods and 26 physiographic and climatic factors were evaluated by using bivariate and multivariate regression models using SPSS 13.5 package and their partial influence were also determined. The results of the study showed that the nonlinear models performed better than linear regression. The main variables include the area, main waterway length and Gravellius factor. Data analysis also revealed the possible change of variables and their importances in determination of monthly mean discharges with different return periods.

Keywords: Kurdistan Province, Physiographic characteristics, Return Period of flood, Flood modeling

1,2- Former M.Sc. Student and Associate Professor, Department of Watershed Management Engineering, College of Natural Resources and Marine Sciences, Tarbiat Modares University, Noor, Respectively
(*- Corresponding author E-mail: sadeghi@modares.ac.ir)

3- Research Associate Professor, Soil Conservation and Watershed Management Research Institute, Iran